

# ② Problematica Prelucrării Semnalelor



## ②.① Problema matematică

### ☞ Problema directă

- Fie un semnal  $f \in \mathcal{S}^p(\mathcal{T})$  și o bază numărabilă  $\mathcal{B} = \{e_n\}_{n \in \mathbb{N}} \subseteq \mathcal{S}^p(\mathcal{T})$ .

Se cere să se descompună semnalul în “componentele” sale, determinate de bază:

$$f \equiv \sum_{n \in \mathbb{N}} c_n e_n.$$

☞ Adică să se determine valorile **coeficienților** din descompunere.

### ☞ Problema inversă

- Fie un semnal necunoscut  $f \in \mathcal{S}^p(\mathcal{T})$  și o bază numărabilă  $\mathcal{B} = \{e_n\}_{n \in \mathbb{N}} \subseteq \mathcal{S}^p(\mathcal{T})$ .

Dacă se cunosc valorile coeficienților descompunerii semnalului în baza dată, se cere să se reconstruiască semnalul inițial cu ajutorul componentelor sale.

### Observații

☞ Problema directă: dificilă; problema inversă: banală.

☞ Dificultatea majoră: selectarea unei baze adecvate.

☞ Dacă spațiul de semnale e **Hilbert** și se poate specifica o bază **ortonormată**, problema se simplifică.

$$\langle e_m, e_n \rangle = \delta_0[m - n], \quad \forall m, n \in \mathbb{N}$$

$$c_n = \langle f, e_n \rangle, \quad \forall n \in \mathbb{N}$$



## ② Problematica Prelucrării Semnalelor



### ②.② Problema inginerească

#### 👉 Problema analizei de semnal (a descompunerii)

- Fie un semnal  $f \in \mathcal{S}^p(\mathcal{T})$  și o bază numărabilă  $\mathcal{B} = \{e_n\}_{n \in \mathbb{N}} \subseteq \mathcal{S}^p(\mathcal{T})$ .  
Se cere să se construiască un nou semnal  $\phi \in \mathcal{S}^p(\mathcal{T})$ , cu următoarele proprietăți:
  - $\phi$  se poate exprima în forma:  $\phi \equiv \sum_{n=0}^N c_n e_n$ , unde:  $N \in \mathbb{N}$  este fixat și finit, iar coeficienții  $\{c_n\}_{n \in \overline{0, N}} \subset \mathbb{C}$  se pot determina numai cu ajutorul semnalului și al bazei specificate.
  - $\phi$  aproximează semnalul original cu precizie controlată: pentru orice  $\varepsilon > 0$ , există  $\phi \in \mathcal{S}^p(\mathcal{T})$  (depinzând de  $\varepsilon$ ), astfel încât:  $\|f - \phi\| < \varepsilon$ .

#### 👉 Problema sintezei de semnal (a reconstrucției)

- Fie un semnal necunoscut  $f \in \mathcal{S}^p(\mathcal{T})$  și o bază numărabilă  $\mathcal{B} = \{e_n\}_{n \in \mathbb{N}} \subseteq \mathcal{S}^p(\mathcal{T})$ .  
Dacă s-a construit un model matematic  $\phi \in \mathcal{S}^p(\mathcal{T})$  al semnalului, se cere să se indice valoarea  $f(t_0)$  (unde  $t_0 \in \mathcal{T}$ ), cu un grad de precizie determinat de  $\phi$ .

👉 Dacă baza este **ortonormată**

👉 Eliminarea / diminuarea redundanței.

**Analiză**

$$c_n = \langle f, e_n \rangle, \quad \forall n \in \overline{0, N}$$

**Sinteză**

$$f \cong \phi \equiv \sum_{n=0}^N \langle f, e_n \rangle e_n$$



7





## ② Problematica Prelucrării Semnalelor



### ②.③ O soluție clasică (Joseph FOURIER)

#### ♣ Ideea lui FOURIER

Orice semnal poate fi considerat ca o suprapunere aditivă de semnale atomice “monofrecvențiale”, cu diferite amplitudini.

#### Teorema de aproximare punctuală a lui DIRICHLET-FOURIER

(vezi Anexa E)



Combinatie liniară de “armonice elementare”.

☞ Introducerea conceptelor de “serie Fourier” și “analiză armonică”.

#### Soluția lui FOURIER pentru semnale continue

$$f \in \mathcal{L}^2([-\pi, +\pi])$$

#### Baza armonică a lui $\mathcal{L}^2([-\pi, +\pi])$

$$\mathcal{B}_a \stackrel{\text{def}}{=} \left\{ \underset{e_0}{1}, \underset{e_{s1}}{\sin t}, \underset{e_{c1}}{\cos t}, \dots, \underset{e_{sn}}{\sin nt}, \underset{e_{cn}}{\cos nt}, \dots \right\}$$

#### ☞ Ortogonalitatea bazei armonice

$$\langle f, g \rangle \stackrel{\text{def}}{=} \int_{-\pi}^{+\pi} f(t) \overline{g(t)} dt$$

$$\|e_0\|^2 = 2\pi$$

$$\langle e_{sn}, e_{sm} \rangle = \pi \delta_0[n - m]$$

$$\langle e_0, e_{sn} \rangle = 0$$

$$\langle e_{cn}, e_{cm} \rangle = \pi \delta_0[n - m]$$

$$\langle e_0, e_{cn} \rangle = 0$$

$$\langle e_{sn}, e_{cm} \rangle = 0$$

$$\forall n, m \in \mathbb{N}^*$$

#### Exercițiu

☞ Nu și normată!



# ② Problematica Prelucrării Semnalelor



## ②.③ O soluție clasică (Joseph FOURIER)

### Formulele lui FOURIER



### Coeficienții (lui) FOURIER

#### Analiză

$$\alpha_0 = \frac{1}{2\pi} \langle f, e_0 \rangle = \frac{1}{2\pi} \int_{-\pi}^{+\pi} f(t) dt$$

$$\beta_0 = 0$$

$$\alpha_n = \frac{1}{\pi} \langle f, e_{cn} \rangle = \frac{1}{\pi} \int_{-\pi}^{+\pi} f(t) \cos nt dt$$

$$\beta_n = \frac{1}{\pi} \langle f, e_{sn} \rangle = \frac{1}{\pi} \int_{-\pi}^{+\pi} f(t) \sin nt dt$$

$$\forall n \in \mathbb{N}^*$$

### Seria (lui) FOURIER

#### Sinteză

$$f(t) \stackrel{\text{PC}}{=} \alpha_0 + \sum_{n \geq 1} (\alpha_n \cos nt + \beta_n \sin nt)$$

👉 **Convergență punctuală (slabă) și nu uniformă!**

$$\forall t \in [-\pi, +\pi]$$

**Armonică elementară de frecvență  $n/2\pi$**

$$\mathcal{A}_n(t) = \alpha_n \cos nt + \beta_n \sin nt$$

$$\forall n \in \mathbb{N}$$

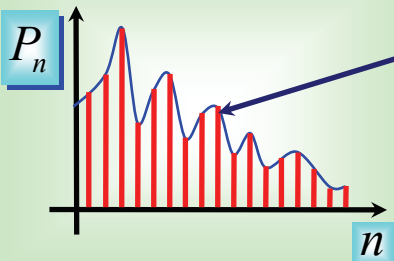
$$\forall t \in [-\pi, +\pi]$$

$$\mathcal{A}_n(t) = P_n \sin(nt + \varphi_n)$$

$$P_n = \sqrt{\alpha_n^2 + \beta_n^2}$$

$$\varphi_n = \arctg \frac{\alpha_n}{\beta_n}$$

### Interpretarea lui Fourier



**linie spectrală**

**putere spectrală**

**fază spectrală**

**PARSEVAL**

$$\lim_{n \rightarrow \infty} \alpha_n = \lim_{n \rightarrow \infty} \beta_n = 0$$

**bandă finită**

$$\phi(t) = \alpha_0 + \sum_{n=1}^N (\alpha_n \cos nt + \beta_n \sin nt)$$

# ③ Semnale și sisteme discrete



- La disciplina **Semnale și Sisteme**, au fost subliniate o serie de conexiuni care există între conceptul de **sistem linear invariant la deplasări (SLID)** și cel de **semnal discret**.
- În **Anexa C**, sunt rezumate principalele proprietăți ale **SLID**, transpuse în "limbajul" semnalelor.

**Prelucrarea Numerică a Semnalelor (DSP - Digital Signal Processing)**

**Ramură importantă a Prelucrării Semnalelor**

- Permite reprezentarea semnalelor cu ajutorul unui mijloc automat de calcul.

**Semnal discret (digital)**

**Secvență discretă de numere (reale sau complexe)**

$$\stackrel{\text{def}}{x} = \{x[n]\}_{n \in \mathbb{Z}}$$

eșantion

- Generate  $\left\{ \begin{array}{l} \text{➤ direct, prin intermediul unui sistem discret} \\ \text{➤ prin eșantionarea semnalelor continue} \end{array} \right.$

⚡ Pot avea proprietăți diferite de ale semnalelor continue originale.

**Mulțimea semnalelor discrete**

$\mathcal{S}_d$

$(\mathcal{S}_d, +, \cdot)$  ← **Spațiu vectorial**

- Include, printre alte clase de semnale, spațiile lui Lebesgue  $\ell^p(\mathcal{T})$

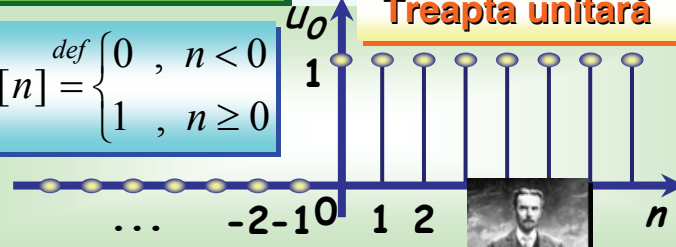
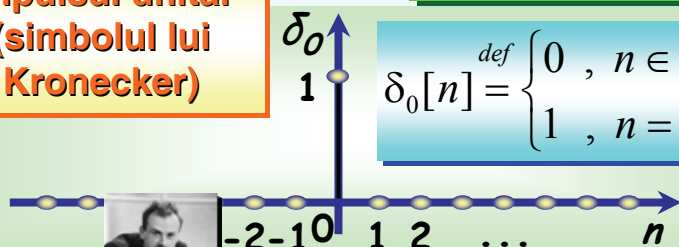
**Impulsul unitar (simbolul lui Kronecker)**

**Exemple simple de semnale discrete**

$$\delta_0[n] \stackrel{\text{def}}{=} \begin{cases} 0, & n \in \mathbb{Z}^* \\ 1, & n = 0 \end{cases}$$

$$u_0[n] \stackrel{\text{def}}{=} \begin{cases} 0, & n < 0 \\ 1, & n \geq 0 \end{cases}$$

**Treapta unitară**



**Impulsul Dirac**

⚡ În timp continuu

**Treapta Heaviside**

# ③ Semnale și sisteme discrete



operatorul de deplasare temporală  
cu  $k$  pași (vezi **Anexa C**)

**Caracteristici ale SLID**

- Sunt caracterizate doar de secvența pondere:
- Leșirea unui SLID se exprimă astfel:

$$h \stackrel{\text{def}}{=} H\delta_0$$

⚡ Nu neapărat cauzal.

← răspunsul la impuls al sistemului

$$y[n] = \sum_{k \in \mathbb{Z}} x[k] h_k[n] = \sum_{k \in \mathbb{Z}} x[k] (q^{-k} h)[n] = \sum_{k \in \mathbb{Z}} x[k] h[n-k]$$

$$\forall n \in \mathbb{Z}$$

Introducerea unei noi operații între semnale  
cu valori reale: **convoluția (liniară)**.

$$x * y \stackrel{\text{def}}{=} \sum_{k \in \mathbb{Z}} x[k] (q^{-k} y) \Leftrightarrow (x * y)[n] \stackrel{\text{def}}{=} \sum_{k \in \mathbb{Z}} x[k] y[n-k]$$

$$\forall n \in \mathbb{Z}$$

⚡ Cu condiția ca suma din definiție să fie convergentă.

- Definiție similară în mulțimea semnalelor continue:

$$(f * g)(t) \stackrel{\text{def}}{=} \int_{-\infty}^{+\infty} f(\tau) g(t-\tau) d\tau$$

$$\forall t \in \mathbb{R}$$

- Generalizare în cazul semnalelor cu **valori complexe**:

$$x * y \stackrel{\text{def}}{=} \sum_{k \in \mathbb{Z}} x[k] (\overline{q^{-k} y}) \Leftrightarrow (x * y)[n] \stackrel{\text{def}}{=} \sum_{k \in \mathbb{Z}} x[k] \overline{y[n-k]}$$

$$\forall n \in \mathbb{Z}$$

- Mulțimea semnalelor care pot fi “convolute”:

$$\mathcal{S}_{*d} \subset \mathcal{S}_d$$

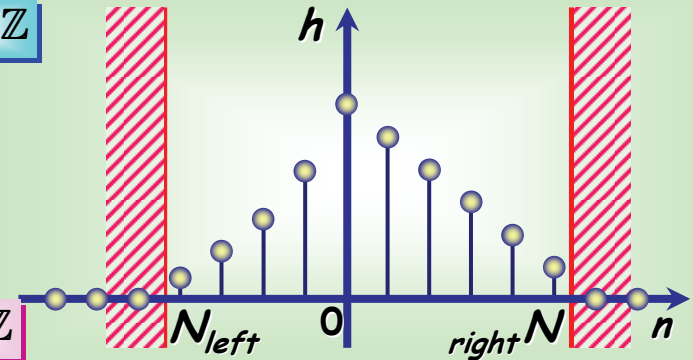
⚡ Nevidă  
Exercițiu

$$\ell^1(\mathcal{I}) \subset \mathcal{S}_{*d}$$

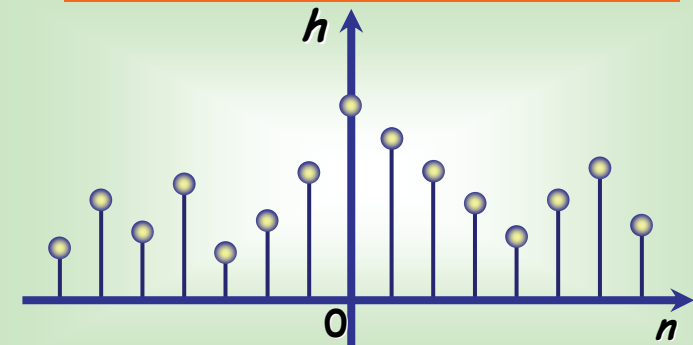
$$(\mathcal{S}_{*d}, +, *, \cdot)$$

Algebră unitară  
comutativă

**FIR – cu răspuns finit la impuls**



**IIR – cu răspuns infinit la impuls**





### ③ Semnale și sisteme discrete

**SLID discrete se mai numesc și filtre (liniare) numerice.**

- Un filtru numeric este **realizabil fizic** dacă secvența pondere a sa este **cauzală**.

⚡ Nu se poate implementa conceptul de **moment anti-cauzal**.

În ce condiții se poate proiecta un filtru numeric realizabil fizic?



Răspunsul este dat de un vechi rezultat din 1934: **Teorema Paley-Wiener**.



#### **Teorema 1 (Paley-Wiener)**

- a. Fie o secvență discretă cauzală și stabilă,  $h$ . Atunci are loc următoarea proprietate remarcabilă:

$$\int_{-\pi}^{+\pi} \left| \ln \left| H(e^{j\omega}) \right| \right| d\omega < \infty,$$

unde  $H(e^{j\omega})$  este Transformata Fourier a secvenței discrete definită prin:

$$H(e^{j\omega}) \stackrel{\text{def}}{=} \sum_{n \geq 0} h[n] e^{-j\omega n} \quad \forall \omega \in \mathbb{R}.$$

- b. Reciproc, dacă spectrul  $|H(e^{j\omega})|$  al unei secvențe discrete stabile  $h$  are proprietatea de la punctul a., atunci acestuia i se poate asocia o fază  $\varphi(\omega)$  astfel încât secvența obținută prin evaluarea Transformatei Fourier inverse să fie cauzală.

$$h[n] = \frac{1}{2\pi} \int_{-\pi}^{+\pi} H(e^{j\omega}) e^{+j\omega n} d\omega \quad \forall n \in \mathbb{Z}$$

# ③ Semnale și sisteme discrete

În ce condiții se poate proiecta un filtru numeric realizabil fizic?



## Interpretarea Teoremei Paley-Wiener

- Secvența discretă din cadrul Teoremei poate fi asimilată cu secvența pondere a unui filtru numeric.

- Pentru ca integrala din aserțiunea directă să fie finită este necesar ca spectrul filtrului să aibă o mulțime cel mult numărabilă de zerouri.

$$\int_{-\pi}^{+\pi} \ln |H(e^{j\omega})| d\omega$$

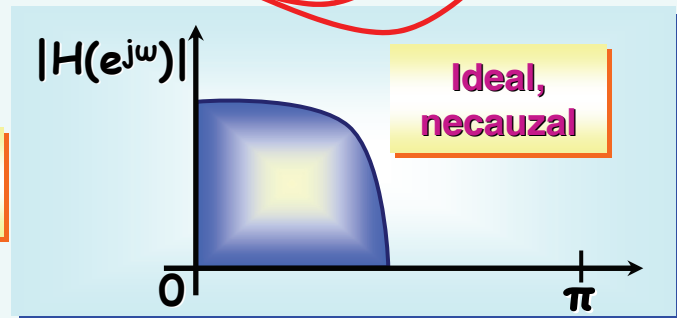
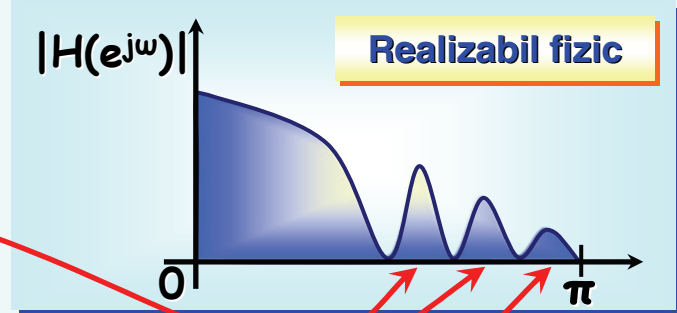
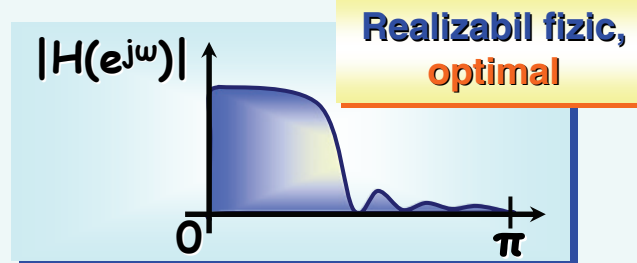
din cauza logaritmului

⚡ Spectrul unui filtru realizabil fizic nu se poate anula pe o întreagă bandă de frecvențe.

⚡ Pe lângă lobul principal, spectrul posedă o serie de lobi paraziți.

- Acesta este prețul plătit pentru realizabilitatea filtrelor numerice.
- Singura posibilitate este de a folosi tehnici de proiectare a filtrelor care să conducă la diminuarea amplitudinii lobilor paraziți.

- Aserțiunea reciprocă din cadrul Teoremei demonstrează existența unor astfel de tehnici.





# ③ Semnale și sisteme discrete



## Caracterizări ale dinamicii SLID

### Teorema 2 (convoluție liniară directă)

Demonstrație

Exercițiu

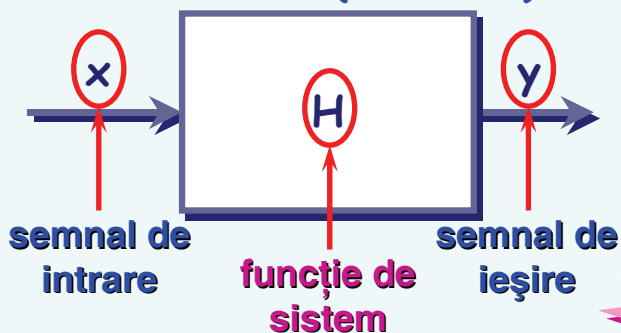
Fie două secvențe discrete  $x$  și  $y$  pentru care suma de convoluție liniară este convergentă. Atunci are loc următoarea proprietate:

**Transformata Z**  
(vezi Anexa D)

$$\mathcal{L}(x * y) \equiv \mathcal{L}(x) \mathcal{L}(y)$$

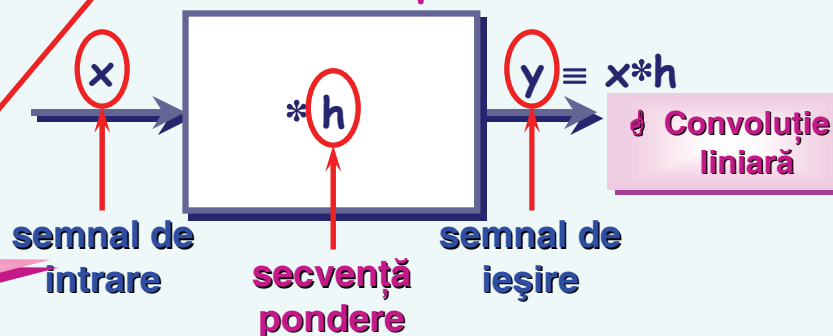
$$x, y \in \mathcal{S}_{*d} \subset \mathcal{S}_d$$

Sistem de Prelucrare a  
Semnalelor (Discrete)



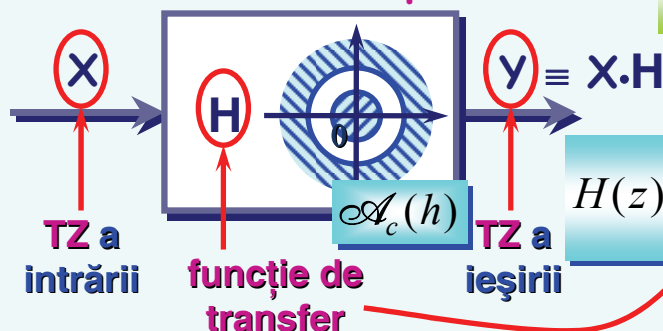
Interpretare

Caracterizare în  
domeniul timpului



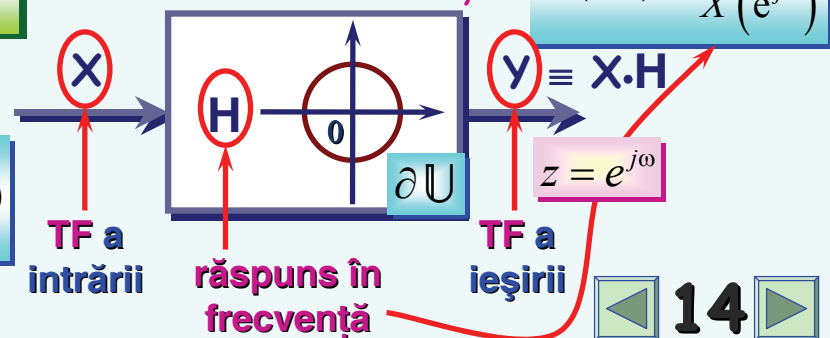
SLID

Caracterizare în  
domeniul complex



Teoreme de  
convoluție liniară

Caracterizare în  
domeniul frecvenței





# 4 Reprezentarea în frecvență a sistemelor discrete



**Semnal**

Entitate ce transportă informație cu privire la starea sau comportamentul unui sistem, atît în  **timp**  cît și în  **frecvență** .

**Timp și frecvență?**  
**Nu sunt concepte independente?**

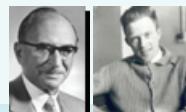


Domeniul **“Timp”** și domeniul **“Frecvență”** sunt **duale**.

- Aparent, **DA**.
- În esență, **NU**.

- Există mai multe manifestări ale dualității dintre ele.

**Exemplu**



**Principiul de incertitudine GABOR-HEISENBERG**

**Semnalul și spectrul său nu pot avea simultan suporturi compacte / finite.**

➤ **Ambele pot avea, însă, suporturi infinite.**

**Rezoluție în “Timp”**

**Produsul rezoluțiilor ≤ o constantă.**

**Rezoluție în “Frecvență”**

**Informație temporală episodică**  
(energie concentrată pe o durată scurtă).

**Informație frecvențială persistentă**  
(energie disipată pe o bandă largă).

O **“Gaussiană”**

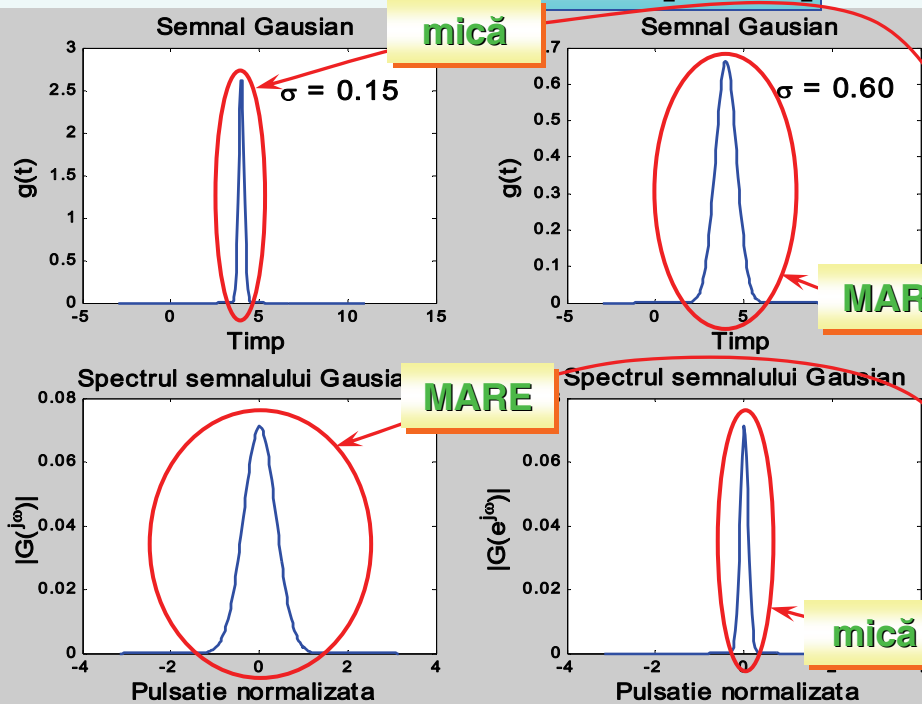
$$g(t) \stackrel{\text{def}}{=} \frac{1}{\sqrt{2\pi}\sigma} \exp\left[-\frac{(t-t_0)^2}{2\sigma^2}\right]$$

**mică**

**MARE**

**MARE**

**mică**





## 4 Reprezentarea în frecvență a sistemelor discrete

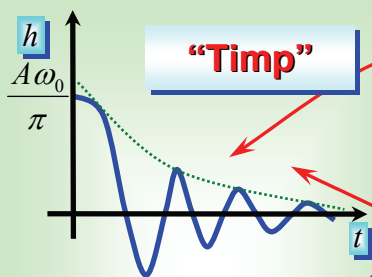
- Informația transportată de semnal poate fi mai ușor de **interpretat** într-un domeniu decât în altul.
- **Compresia** semnalului poate fi mai ușor de realizat într-un domeniu decât în altul.

### Exemplu

Un FTJ ideal

$$h(t) \stackrel{\text{def}}{=} \frac{A \sin \omega_0 t}{\pi t}$$

Cum poate fi transferată informația între domeniile Timp și Frecvență?



"Timp"

Complicată

Interpretare

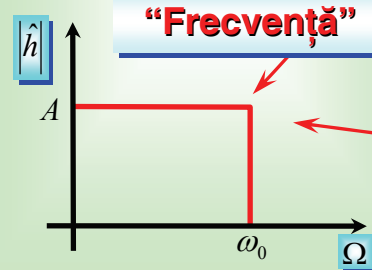
Simplă



Cu ajutorul **transformatorilor**.

Transformată

Operator inversabil care transformă un **semnal temporal** în **unul frecvențial**.

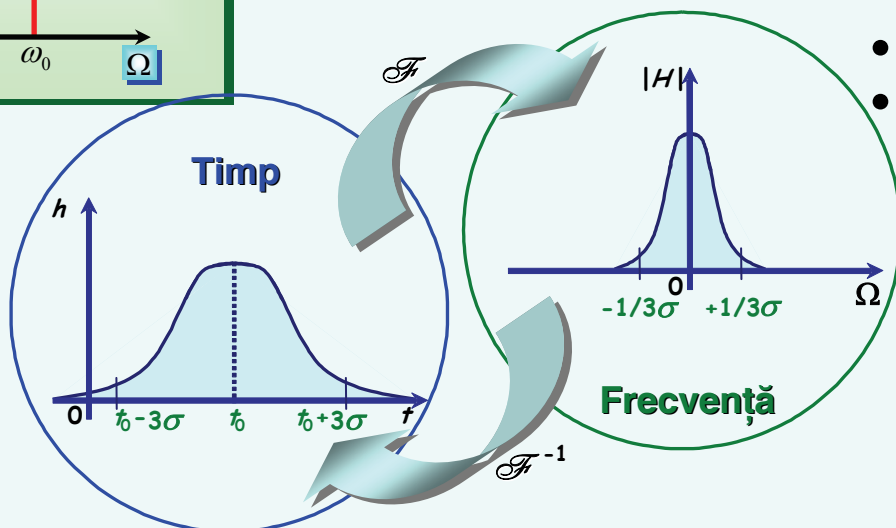


"Frecvență"

mică

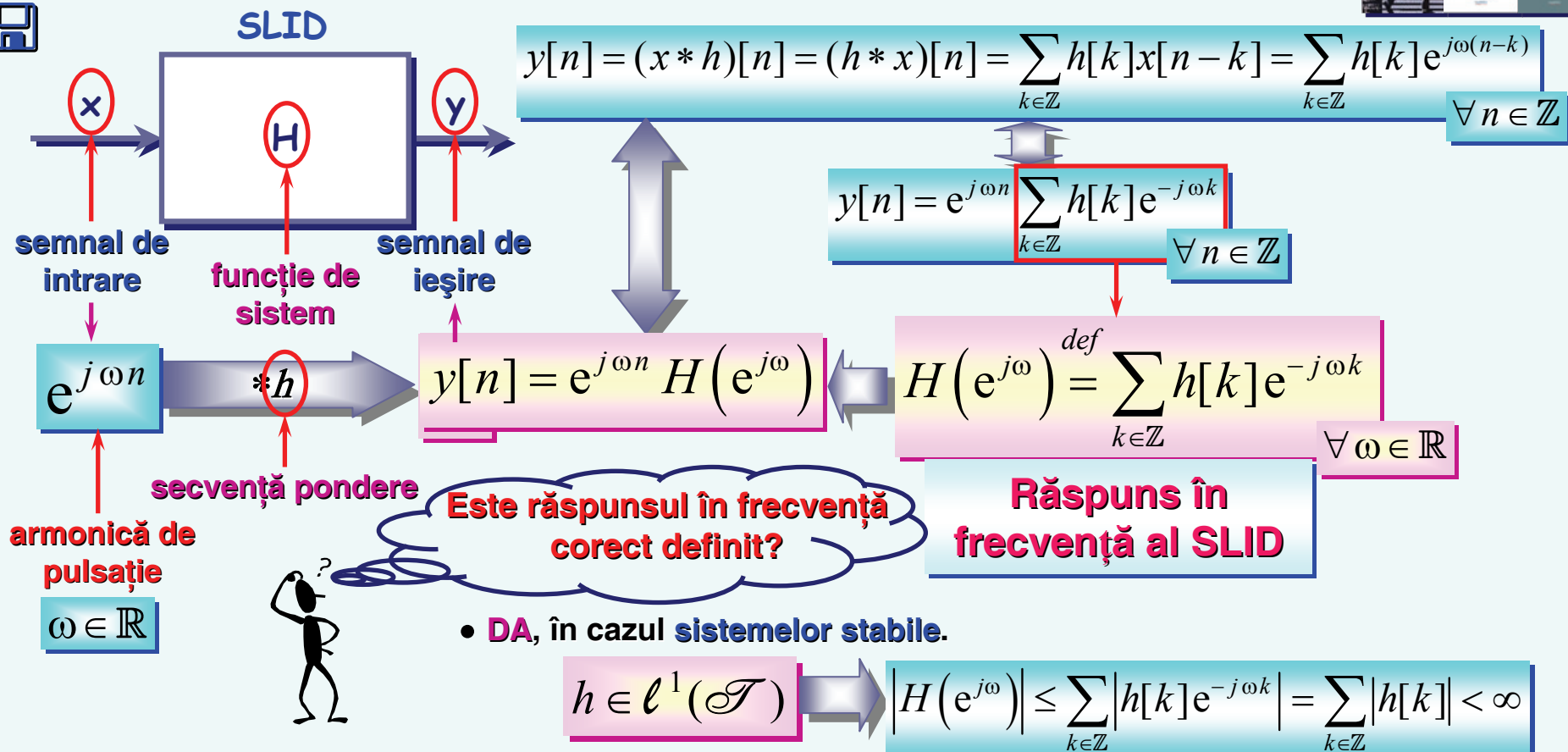
Rată de compresie

MARE



- Există mai multe clase de transformate.
- Una dintre cele mai diverse este **Clasa Operatorilor Fourier**.
- Discuția va fi focalizată asupra acestei clase.
- Pentru a ajunge la operatorii Fourier se va apela din nou la conceptul de **sistem**.

# 4 Reprezentarea în frecvență a sistemelor discrete



- Răspunsul în frecvență este o funcție cu **valori complexe**.

$$H(e^{j\omega}) = \text{Re}[H(e^{j\omega})] + j \text{Im}[H(e^{j\omega})] = |H(e^{j\omega})| e^{j\phi_H(\omega)} \quad \forall \omega \in \mathbb{R}$$

⚡ Caracterizarea în frecvență a unui SLID este explicitată de răspunsul în frecvență al acestuia, care conduce, de fapt, la diagrama Bode.

**Spectru**

**Fază**

# 4 Reprezentarea în frecvență a sistemelor discrete



## Caracterizarea în frecvență a SLID



$$q^{-1}$$



$$e^{-j\omega}$$

⚡ Semnal frecvențial **continuu**.

$$H(q^{-1}) \stackrel{\text{def}}{=} \sum_{k \in \mathbb{Z}} h[k] q^{-k}$$

**Funcție de sistem**

$$H(e^{j\omega}) \stackrel{\text{def}}{=} \sum_{k \in \mathbb{Z}} h[k] e^{-j\omega k}$$

$\forall \omega \in \mathbb{R}$

**Răspuns în frecvență**

$$[a]_{\text{dB}} \stackrel{\text{def}}{=} 20 \lg a$$

decibeli

**Spectru**

linie spectrală

simetric pentru  $h$  reală

$$|H(e^{j\omega})| = \sqrt{\text{Re}^2[H(e^{j\omega})] + \text{Im}^2[H(e^{j\omega})]}$$

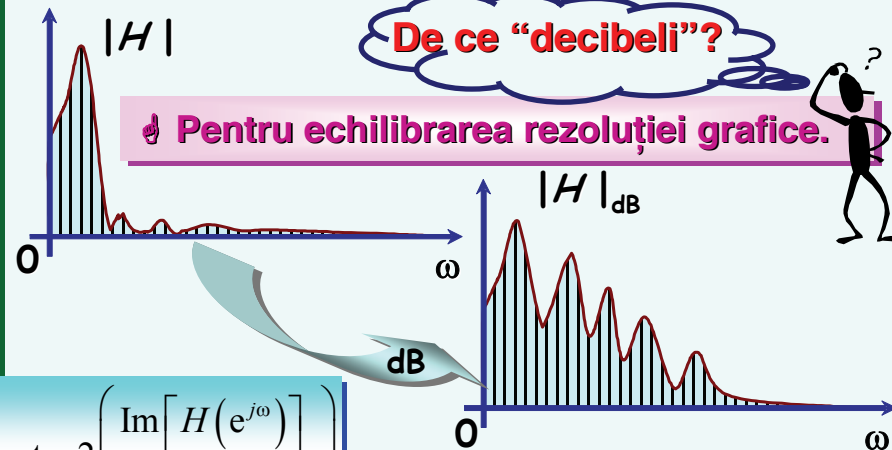
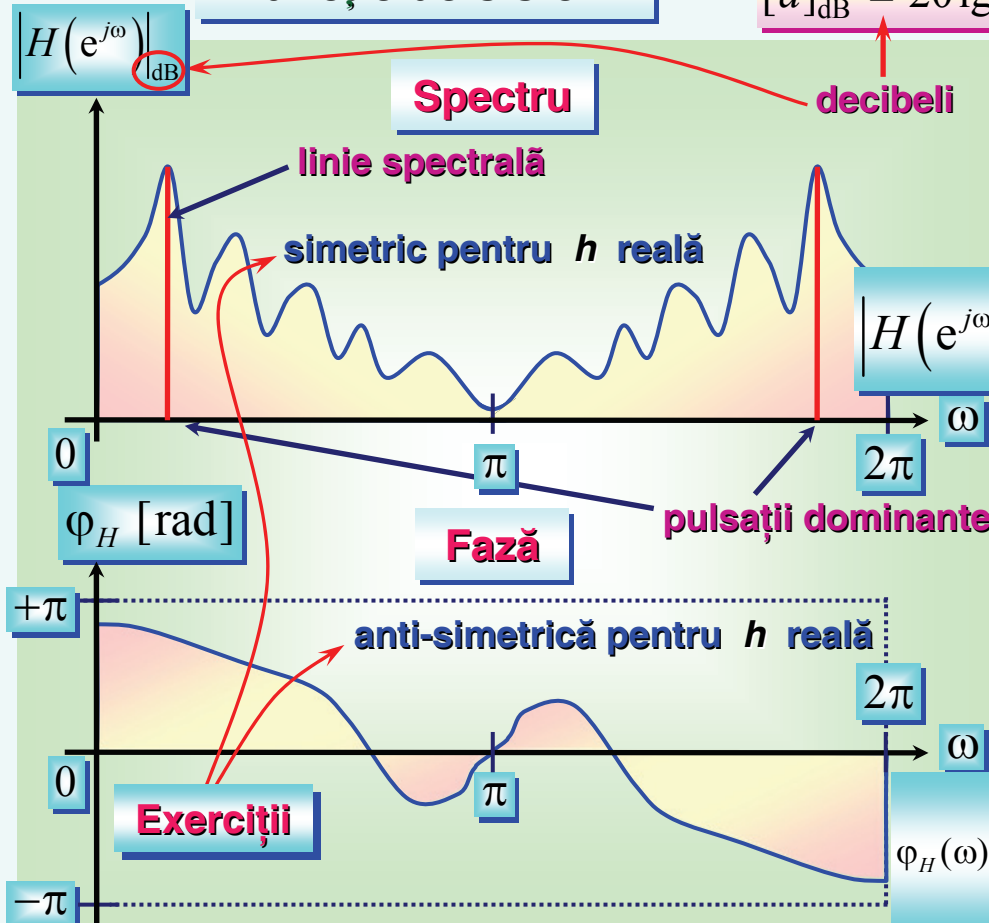
**Proprietăți elementare**

• Funcție analitică (indefinit derivabilă).

• Periodicitate:  $H(e^{j\omega}) = H(e^{j(\omega+2\pi)})$   
 $\forall \omega \in \mathbb{R}$

De ce "decibeli"?

⚡ Pentru echilibrarea rezoluției grafice.



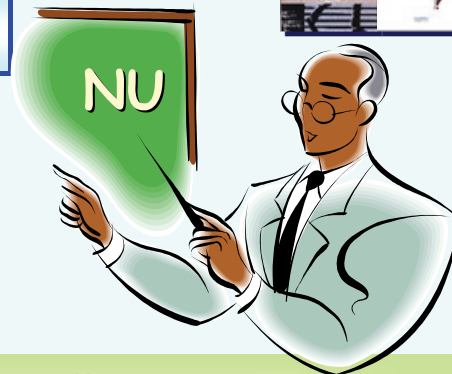
$$\varphi_H(\omega) = \text{atan2} \left( \frac{\text{Im}[H(e^{j\omega})]}{\text{Re}[H(e^{j\omega})]} \right)$$

# 4 Reprezentarea în frecvență a sistemelor discrete



## Invarianța la deplasări frecvențiale

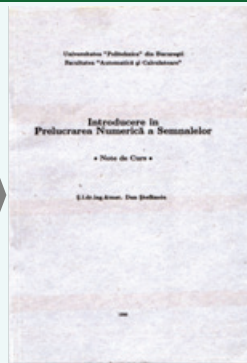
Modifică un SLID pulsația  
armonice de intrare?



### Propoziția 1 (invarianța la deplasări în frecvență)

Răspunsul unui SLID cu funcție pondere reală și stabilă la o armonică de pulsație constantă este o armonică de aceeași pulsație, dar de amplitudine și fază eventual diferite.

### Demonstrație



- **Liniaritatea și invarianța la deplasări temporale** ale sistemului induc automat **invarianța la deplasări frecvențiale**.

$$e^{j(\omega \pm \Delta\omega)n} \xrightarrow{*h} y[n] = e^{j(\omega \pm \Delta\omega)n} H(e^{j(\omega \pm \Delta\omega)}) \quad \forall n \in \mathbb{Z}$$

👉 Spectrele intrării și ieșirii, ca și răspunsul în frecvență al sistemului pot fi reprezentate **pe aceeași bandă de frecvențe**.